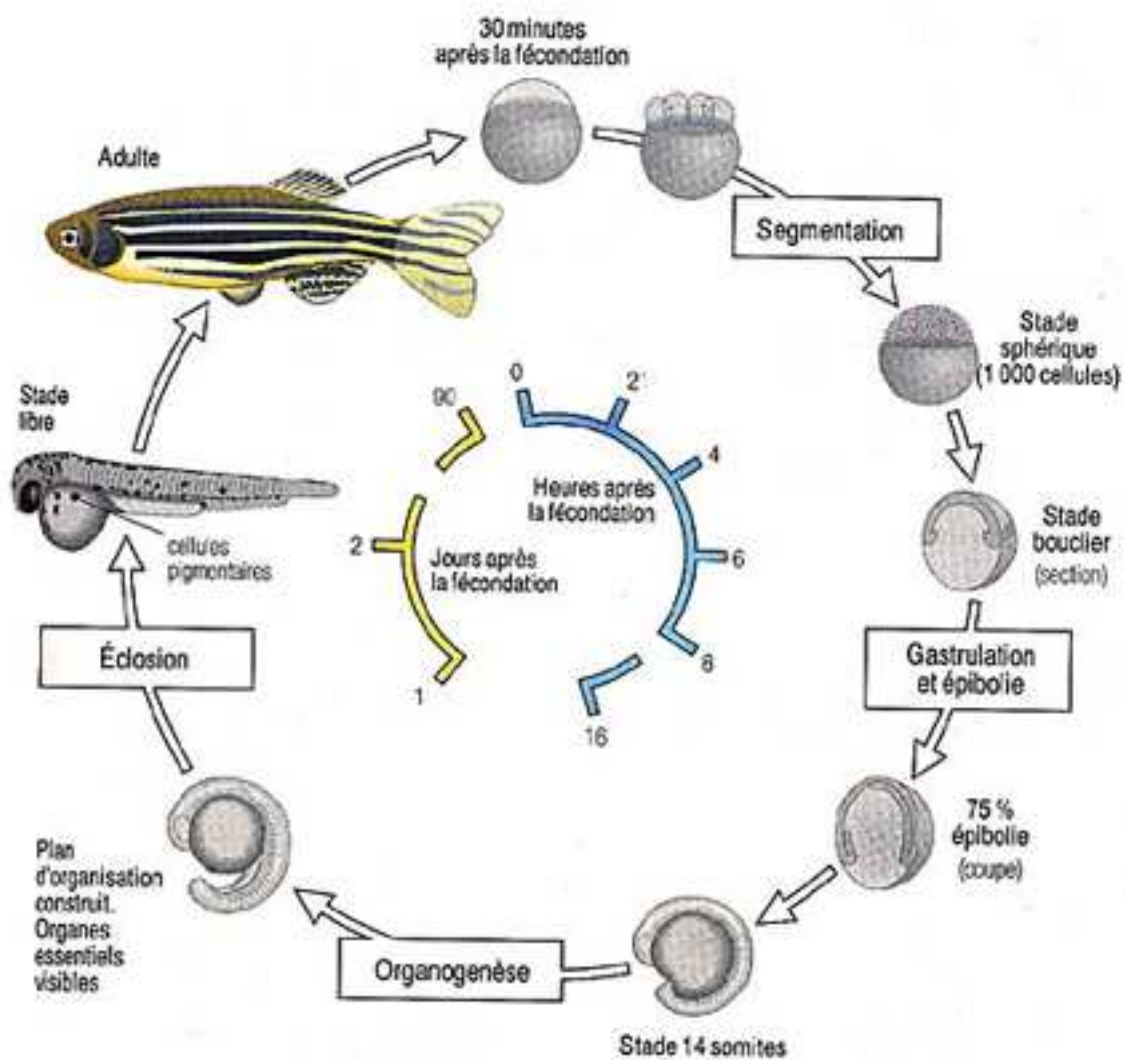




LES POISSONS



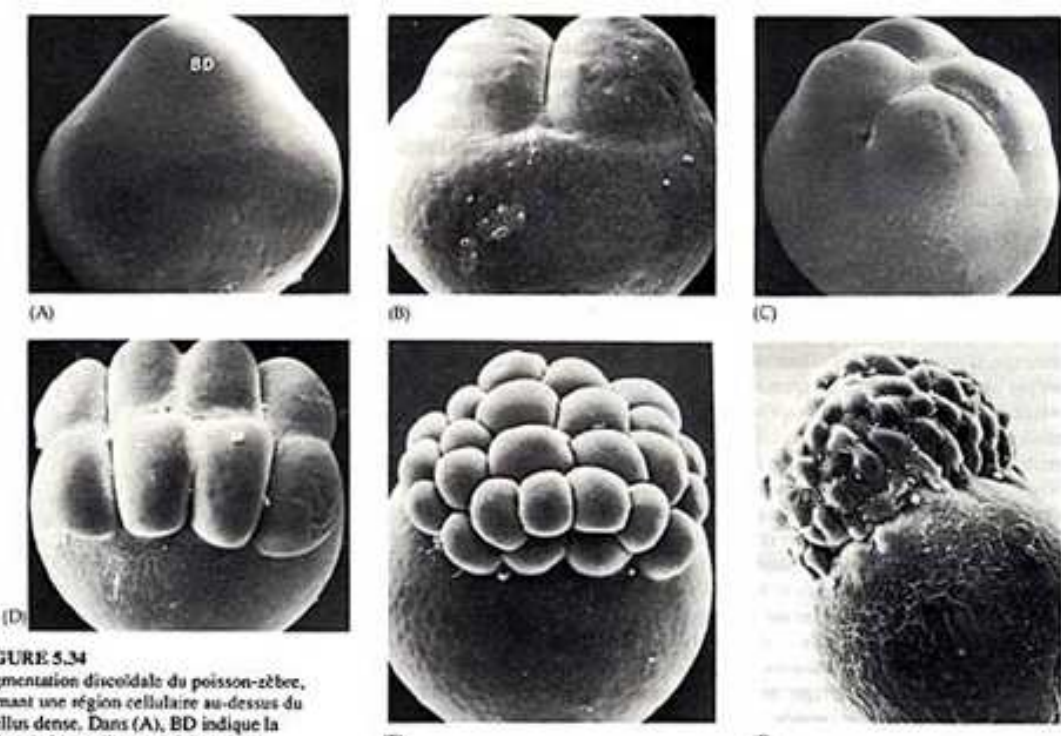
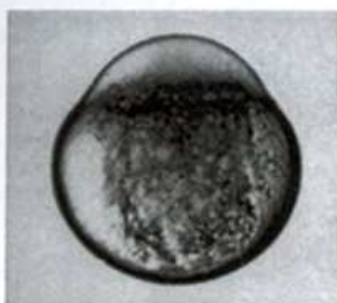


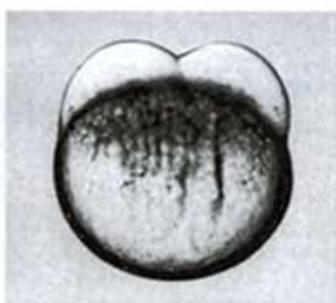
FIGURE 5.34
Segmentation discoidale du poisson-zèbre,
formant une région cellulaire au-dessus du
vitellus dense. Dans (A), BD indique la
région du blastodisque. (cf. Beams et
Kessel, 1976, amabilité des auteurs.)

Gilbert, 1996 p. 186

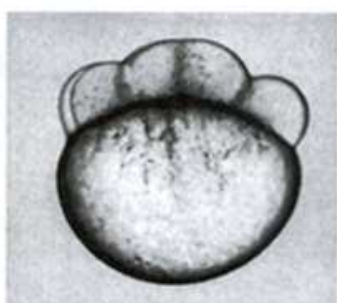
*Microphotographies d'embryons de *Danio rerio* (x 50)*



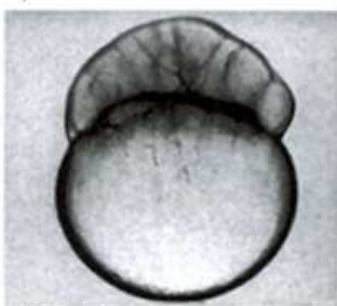
a) 1 cellule



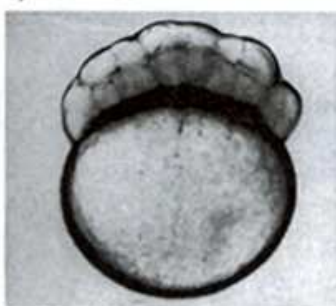
b) 2 cellules



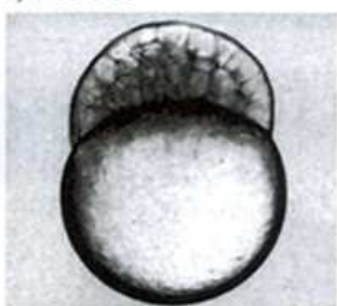
c) 8 cellules



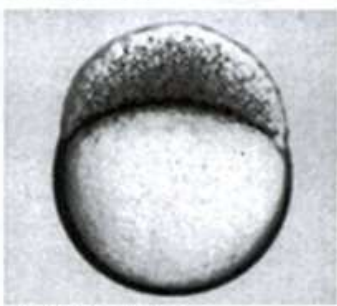
d) 32 cellules



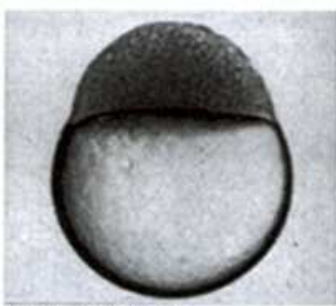
e) 64 cellules



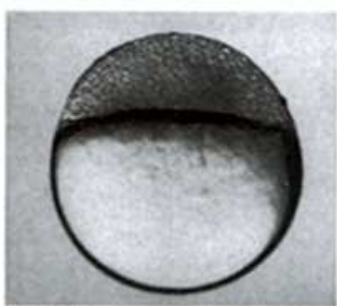
f) 128 cellules



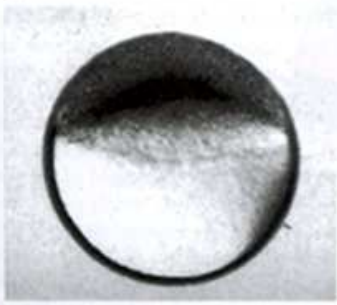
g) 1000 cellules



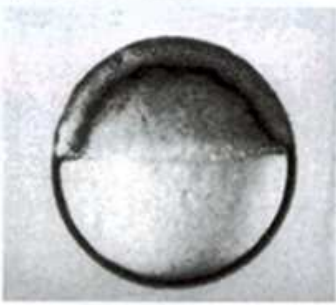
h) Blastula haute



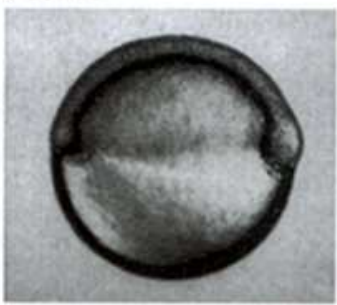
i) Sphère



j) Dôme



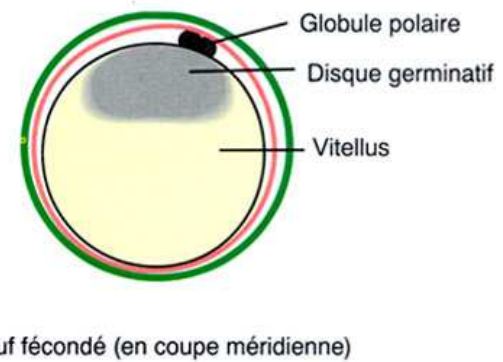
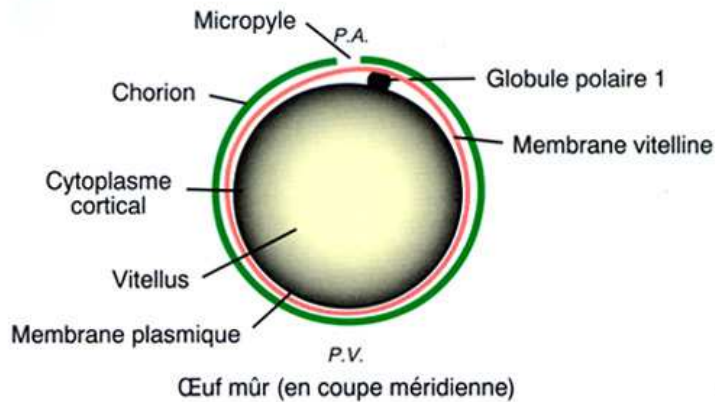
k) 50% épibolie



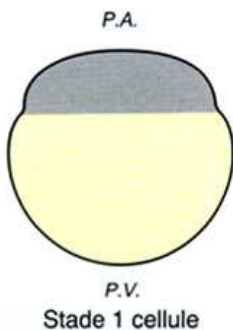
l) Écuillon (de profil)

Premières étapes de la segmentation

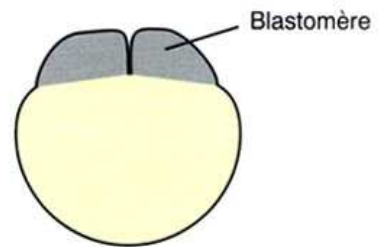
a) L'œuf insegmenté



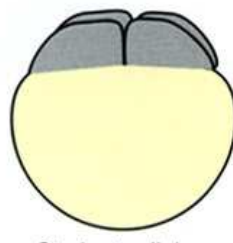
b) La segmentation : premiers stades (vues latérales externes)



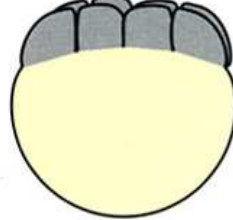
Stade 1 cellule



Stade 2 cellules



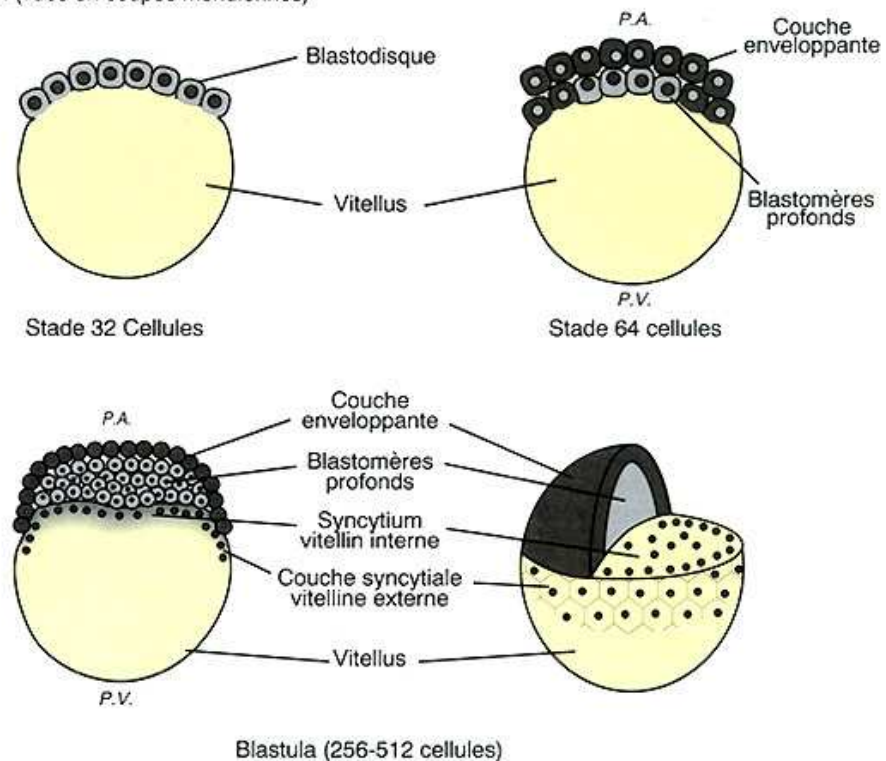
Stade 4 cellules



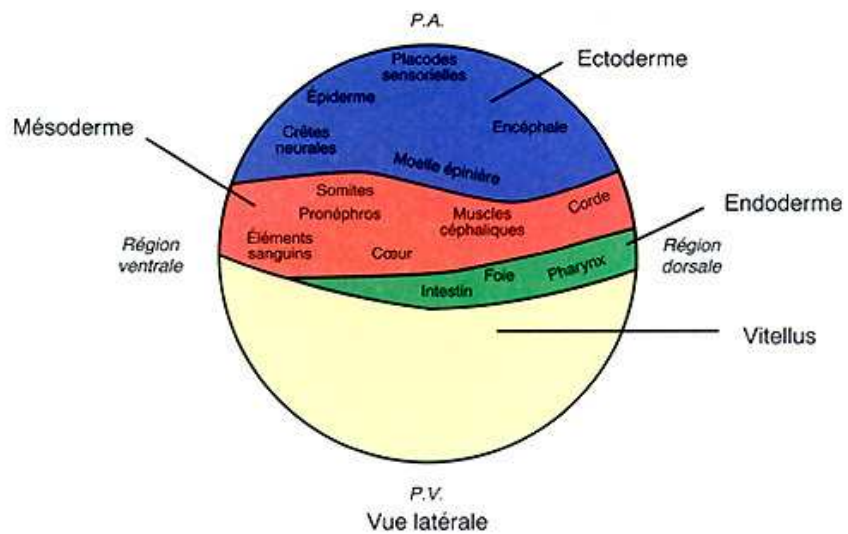
Stade 8 cellules

Les étapes finales de la segmentation et la carte des territoires présomptifs

a) La segmentation (vues en coupes méridiennes)

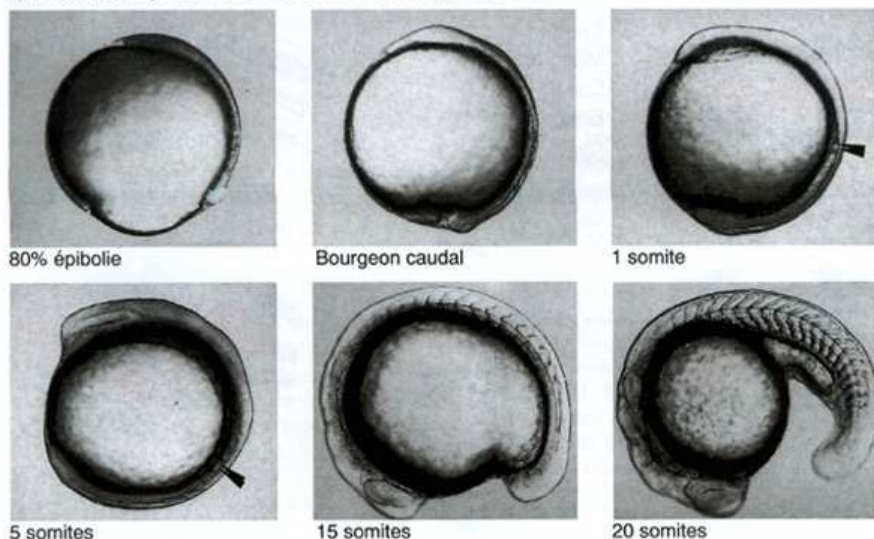


b) Carte des territoires présomptifs au stade 50% d'épibolie

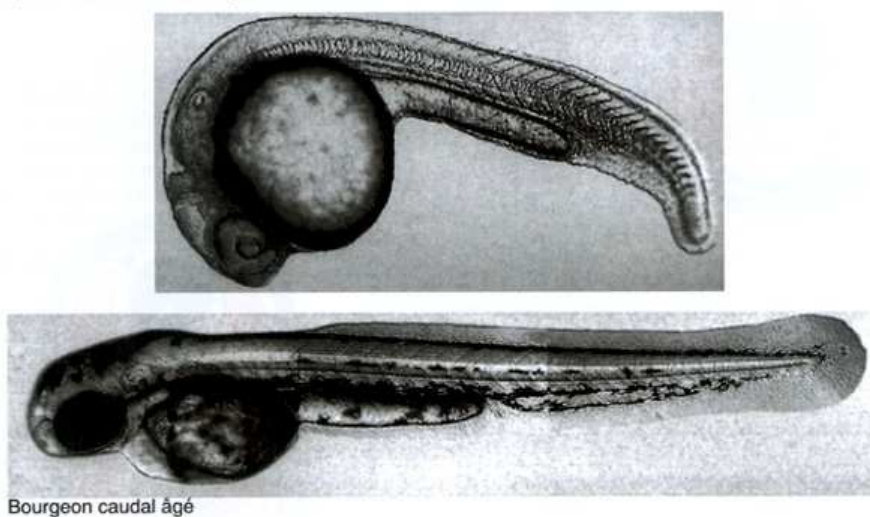


Microphotographies de la formation du bourgeon caudal et de la formation de la larve (x 50)

a) Formation du jeune bourgeon caudal et somitogenèse



b) Redressement du bourgeon caudal



Bourgeon caudal âgé

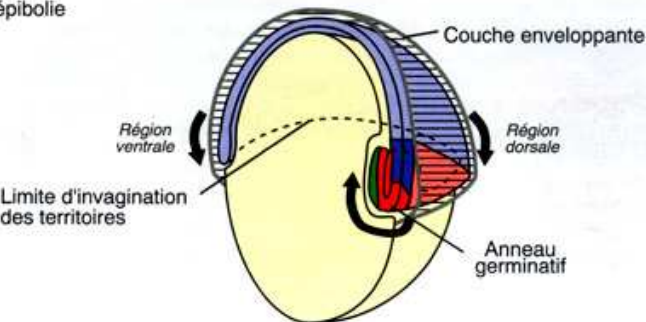
c) Formation de la larve nageuse



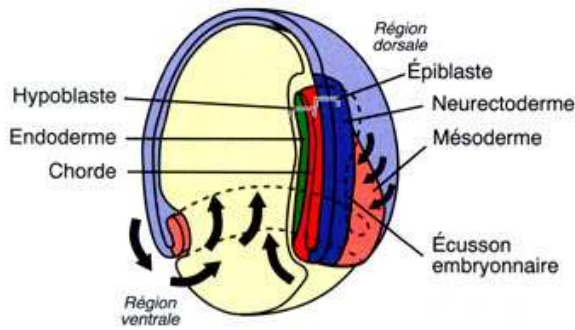
(d'après Boulekbache, 1998)

La gastrulation

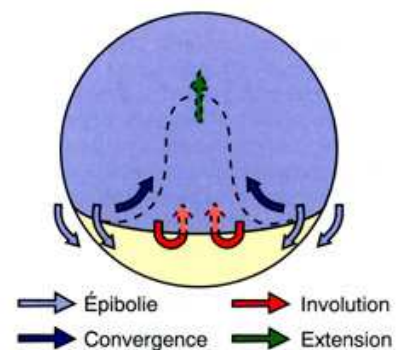
a) Embryon à 50% d'épibolie



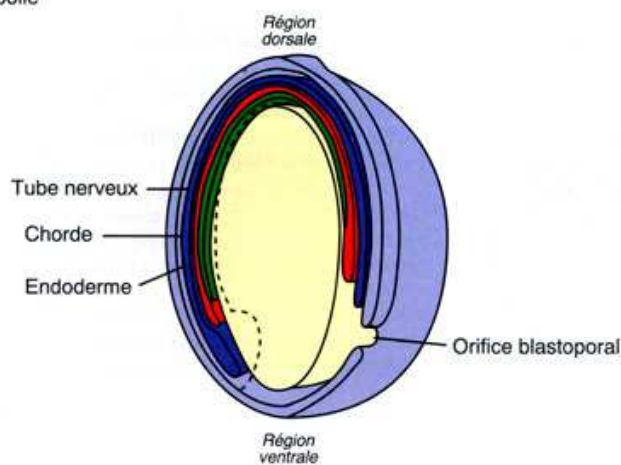
b) Embryon à 75% d'épibolie
(sans la couche enveloppante)



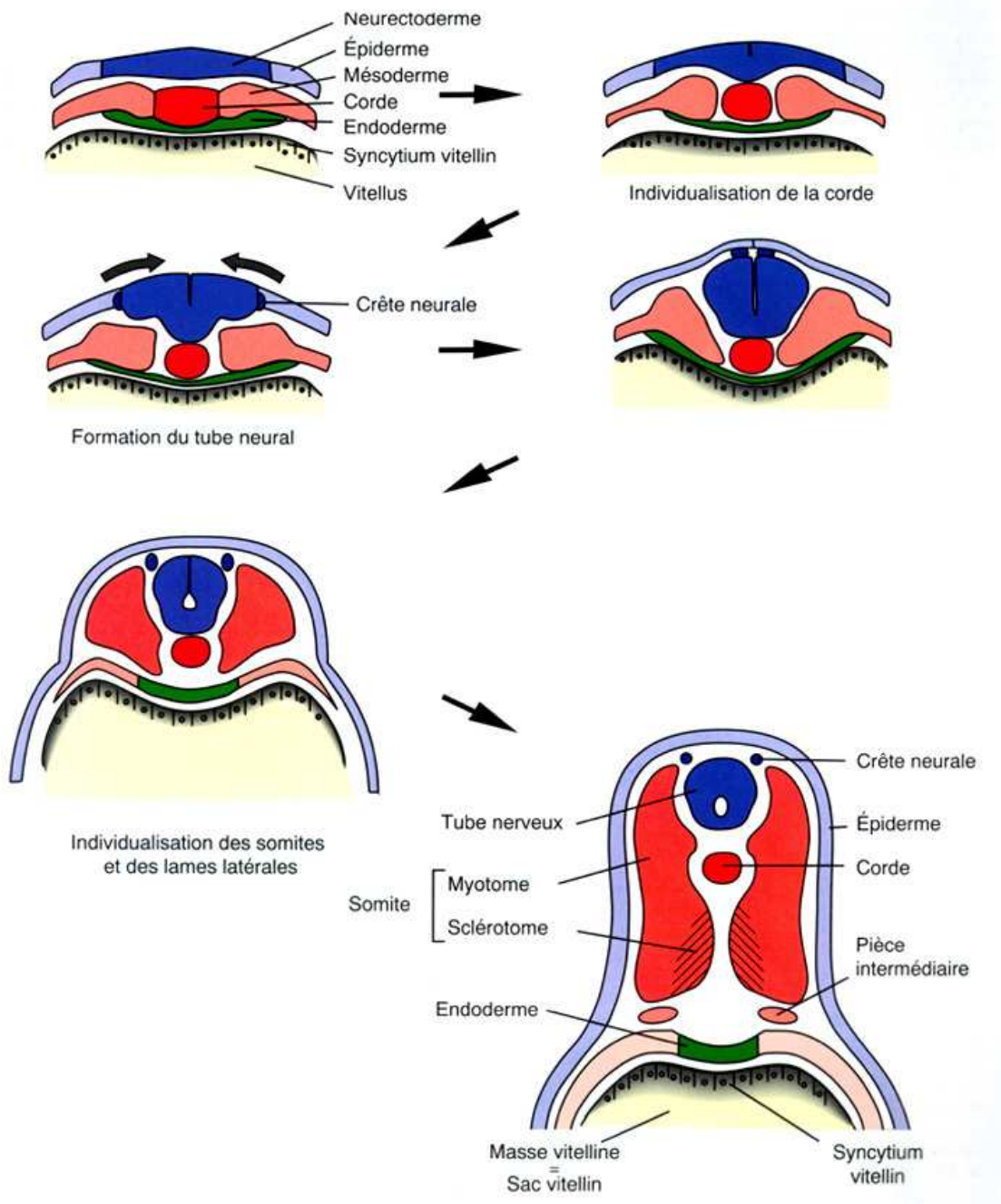
c) Embryon à 75% d'épibolie : mouvements des territoires en vue externe dorsale

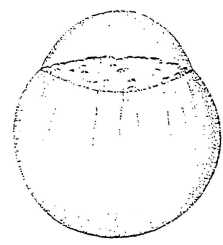


d) Embryon à 100% d'épibolie

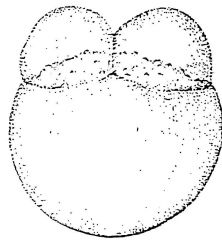


La neurulation (coupes transversales troncales)

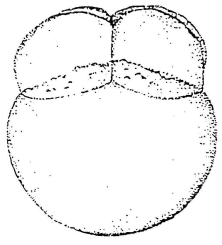




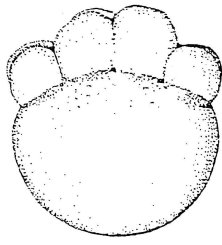
1-cell
0.2 h



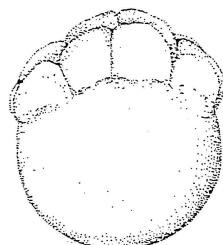
2-cell
0.75 h



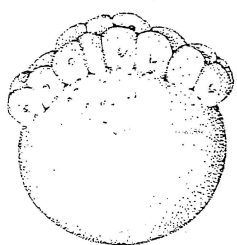
4-cell
1 h



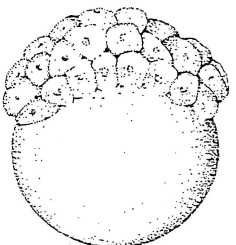
8-cell
1.25 h



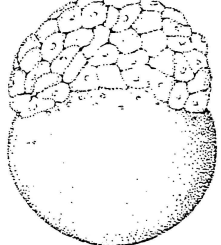
16-cell
1.5 h



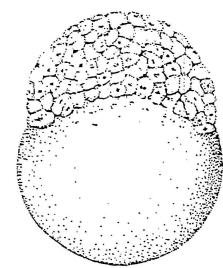
32-cell
1.75 h



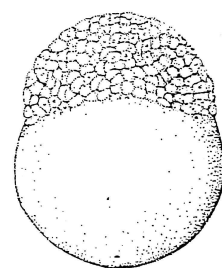
64-cell
2 h



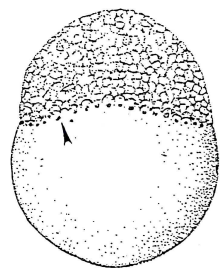
128-cell
2.25 h



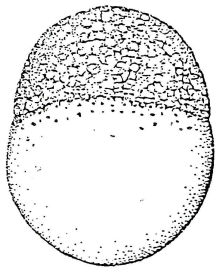
256-cell
2.5 h



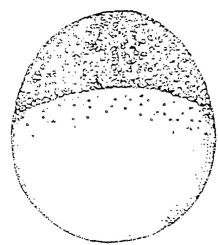
512-cell
2.75 h



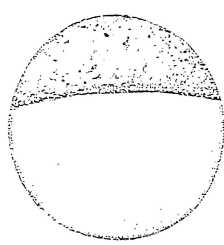
1k-cell
3 h



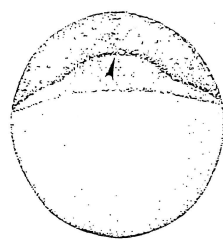
high
3.3 h



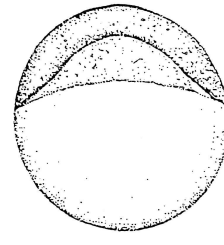
oblong
3.7 h



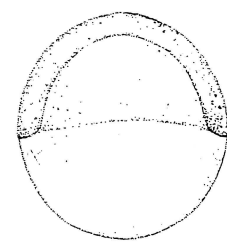
sphere
4 h



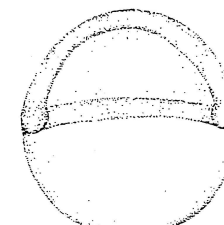
dome
4.3 h



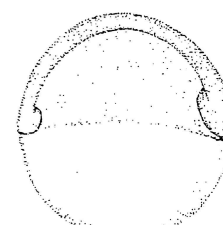
30%-epiboly
4.7 h



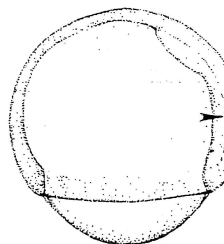
50%-epiboly
5.3 h



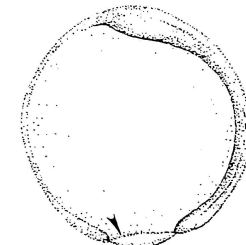
germ ring
5.7 h



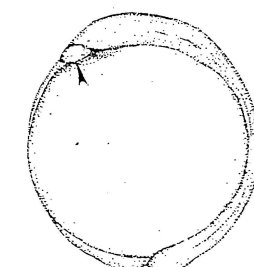
shield
6 h



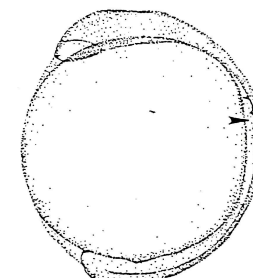
75%-epiboly
8 h



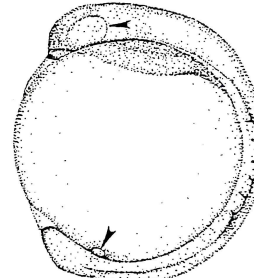
90%-epiboly
9 h



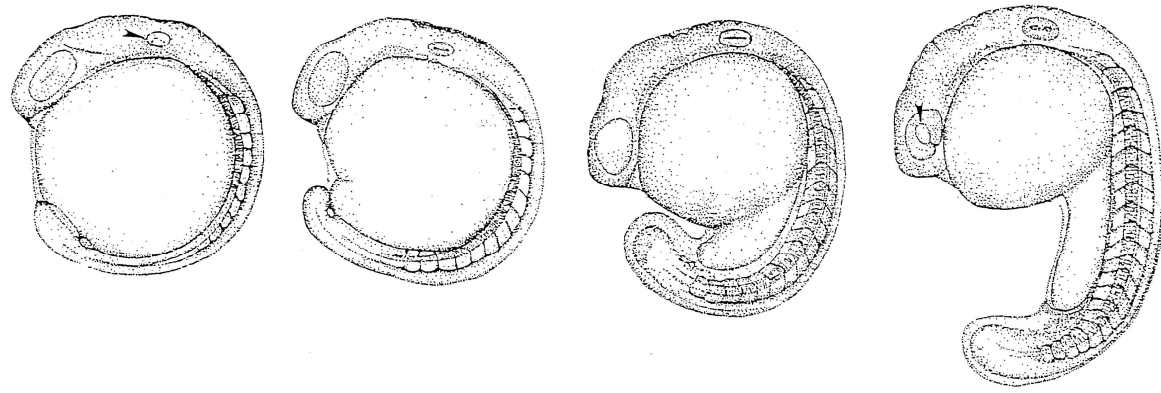
bud
10 h



3-somite
11 h



6-somite
12 h

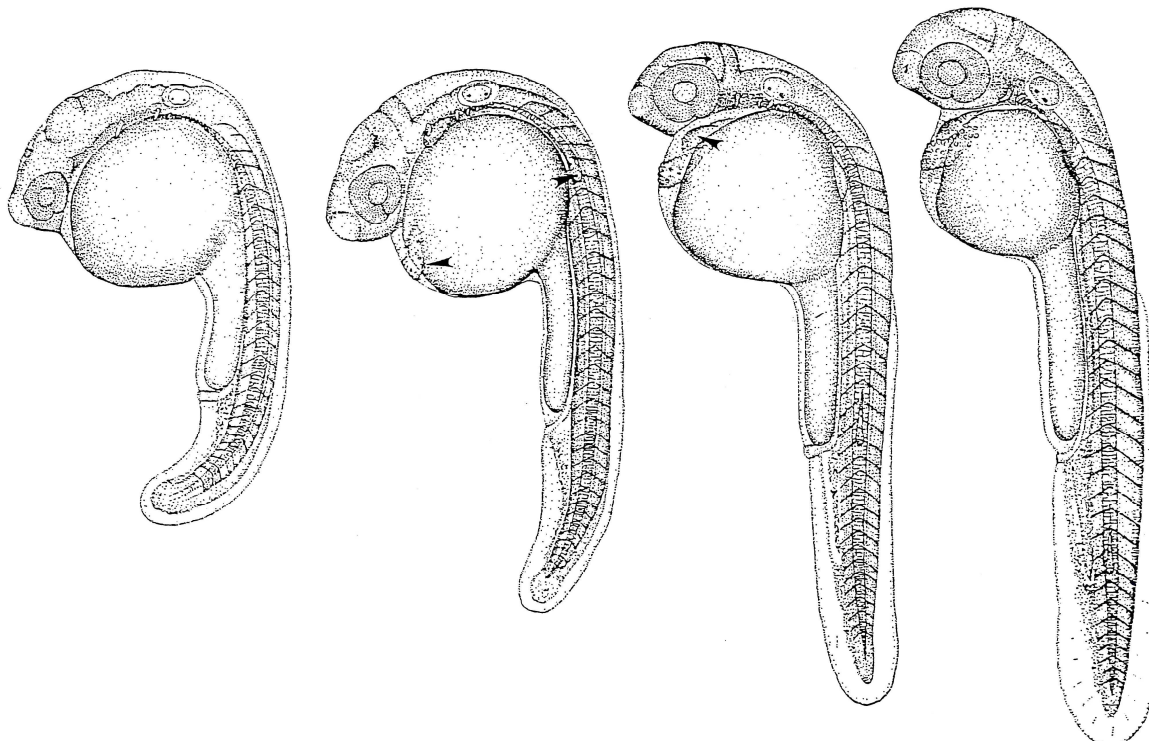


10-somite
14 h

14-somite
16 h

18-somite
18 h

21-somite
19.5 h

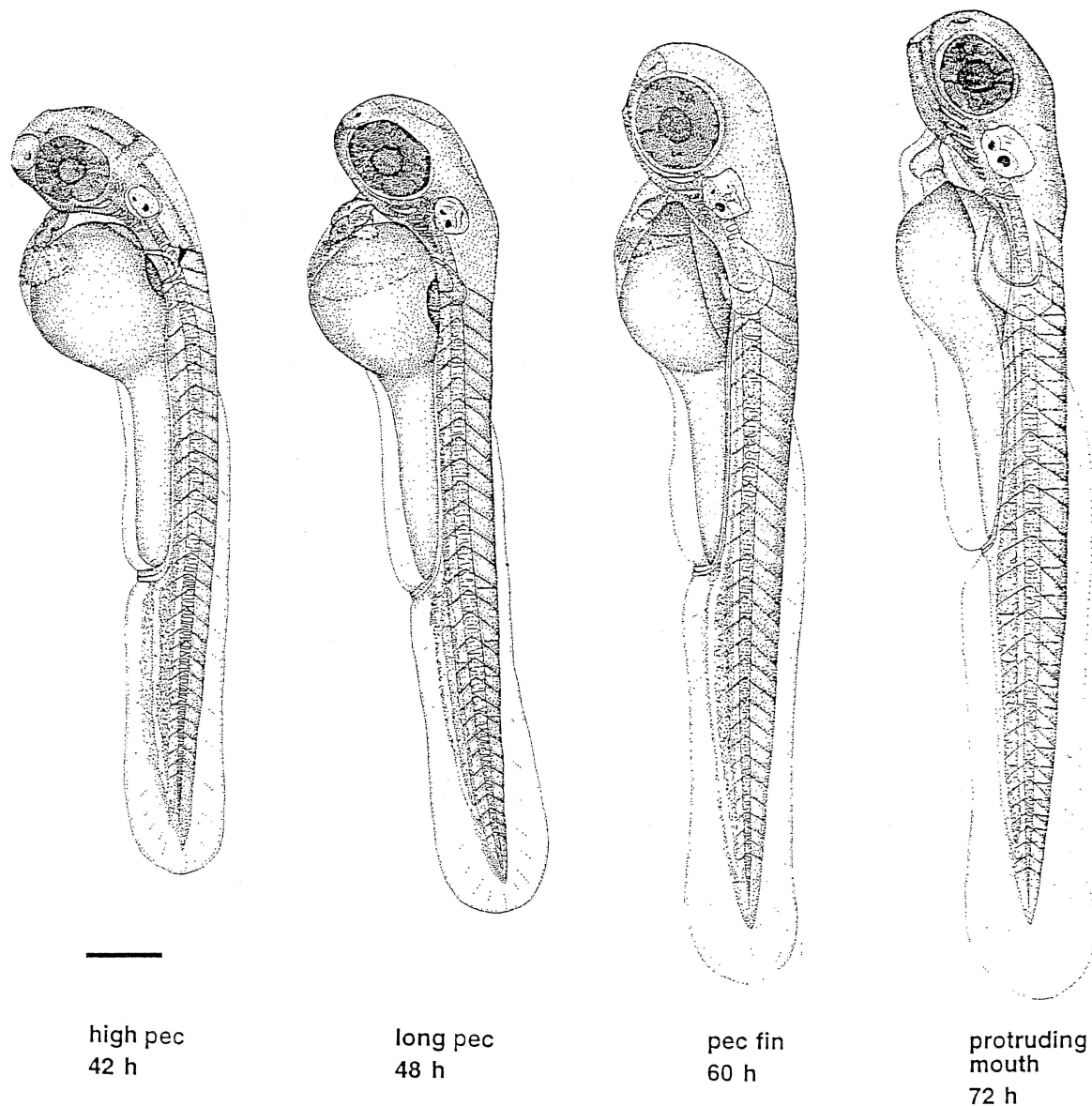


26-somite
22 h

prim-6
25 h

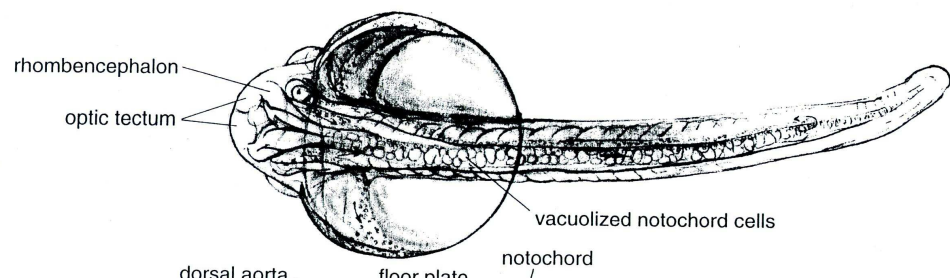
prim-16
31 h

prim-22
35 h

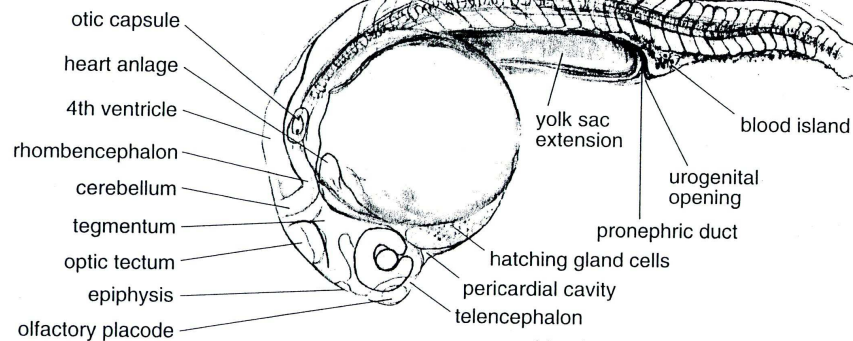


24 h

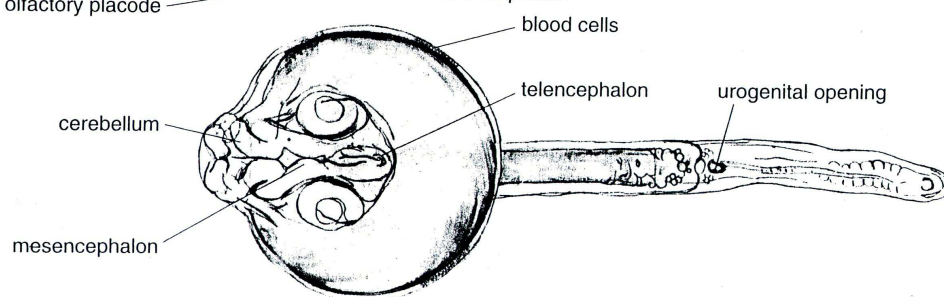
dorsal



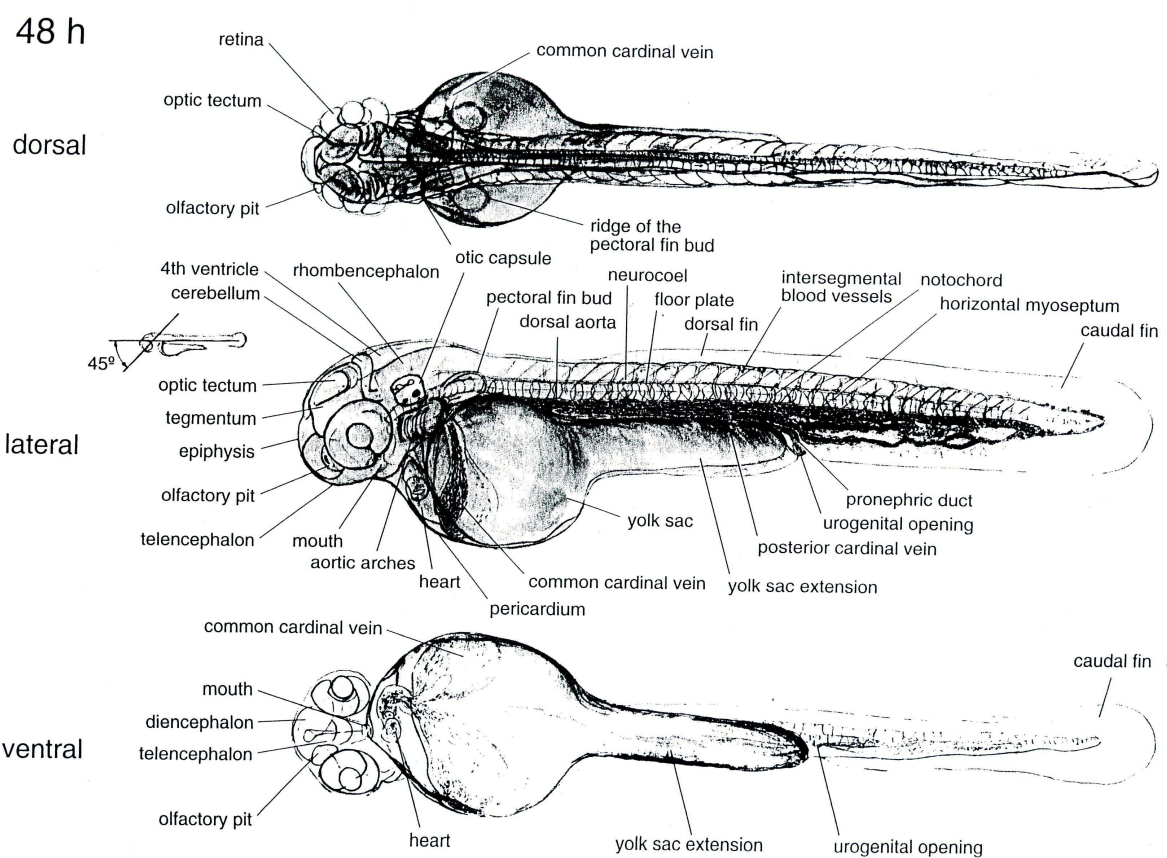
lateral



ventral



48 h



3 d

